



PIEZO1影响HaCaT细胞的趋电性迁移*

张桂诚 龚 鹏 王一凡 赵三军**

(云南师范大学生命科学学院,昆明 650500)

摘要 目的 伤口中心产生的内源性电场是指导细胞定向迁移促进伤口愈合的重要因子。PIEZO1 是机械门控阳离子通道家族成员之一,它参与细胞迁移,影响细胞的趋化迁移,并且受到电压的调节,在伤口愈合过程中发挥重要作用。但PIEZO1 是否参与影响电场指导的细胞定向迁移过程尚不清晰,本文以HaCaT细胞为模型探讨PIEZO1 及其下游相关蛋白质对细胞趋电性迁移的影响。方法 应用活细胞工作站追踪 HaCaT细胞在微直流电场中的迁移,使用抑制剂及RNAi 技术调控PIEZO1 功能和表达,研究 PIEZO1 对于细胞趋电性迁移的影响;用蛋白质印迹(Western blot)检验细胞的整合素(integrin)β1 与FAK磷酸化水平在电场作用下的变化情况,探讨 PIEZO1 与 integrin β1 及 FAK等对电场信号的响应及细胞趋电性迁移的影响。结果 PIEZO1 广谱抑制剂钉红、GsMTx4和 RNAi 处理显著抑制了 HaCaT细胞向正极趋电性迁移的能力;电场和GsMTx4单独作用升高 FAK磷酸化和 integrin β1 表达,GsMTx4阻止电场进一步升高 FAK的磷酸化水平和 integrin β1 表达;siRNA 干扰 PIEZO1 表达后显著下调 FAK的磷酸化水平,并且电场对 FAK磷酸化和 integrin β1 表达的促进作用受到抑制;Integrin β1 和 FAK的抑制剂使 HaCaT细胞的趋电性迁移能力均显著降低。结论 PIEZO1 参与 HaCaT细胞的趋电性迁移,是影响 HaCaT细胞趋电性迁移的重要分子之一;抑制 integrin β1 和 FAK 会影响 HaCaT细胞的电性迁移;电场信号可能通过PIEZO1 介导的信号通路调控 integrin β1 的表达和 FAK的活化进而影响细胞趋电性迁移。

关键词 电场, 趋电性, 细胞迁移, HaCaT细胞, PIEZO1, 整合素β1, FAK 中图分类号 Q26, Q27 **DOI:** 10.16476/j.pibb.2023.0218

创伤后修复是一个动态协调过程,需要多基因共同调控程序的表达,主要包括止血炎症、新组织的形成和组织重构或分解三个阶段,在伤口愈合过程中细胞进行分裂分化和运动迁移,而往往迁移要快于分裂分化过程,优先对伤口处进行修复[1]。研究发现,伤口处皮肤屏障缺失导致的跨上皮电位短接会在伤口处产生内源性电场(electric field,EF),这种恒稳微直流电场能够指导细胞向伤口中心定向迁移,在伤口愈合的过程中具有重要作用[23]。

上皮损伤后发生机械感知的改变与上皮稳态的缺失,在伤口处形成一定的空隙,机械力环境发生改变,研究表明,此种活动可以通过机械感知离子通道发挥作用,在生物体伤口愈合过程发挥作用^[4]。PIEZO1是在哺乳动物中发现的一类广泛分布于包括皮肤在内的各组织器官中的机械敏感离子通道,它能够对剪切应力做出响应,并将机械力转换为生物信号,参与流体压力感知、触摸感觉,维持上皮细胞稳态等生物学过程。PIEZO1参与介导了包括Ca²+在内的多种金属离子的流动,在细胞增

殖、分化和迁移过程中感受外界机械信号并在调节 细胞运动方式中发挥不可或缺的作用[5-6]。在细胞 迁移过程中, PIEZO1 在细胞运动前端的片状伪足 处积聚,抑制PIEZO1通道可以促进细胞迁移[7]。 在盘基网柄菌中应用 siRNA 敲低 Piezol 表达会导致 其趋化性迁移的缺陷[6]。研究发现,内源性电场 在伤口愈合过程中是重要的细胞迁移方向信号[2], 在小鼠伤口愈合模型研究中发现, PIEZO1参与伤 口愈合、趋化性迁移和细胞运动[5]的过程,并且 可以切换到纯电压门控模式^[8]。但是PIEZO1是否 参与细胞的趋电性迁移尚不清楚。本研究以人角质 形成细胞HaCaT为模型,应用PIEZO1的抑制剂以 及 siRNA 等方式调控 PIEZO1 活性及表达,研究 PIEZO1 在细胞感知电信号并进行定向迁移中的作 用,并探讨PIEZO1下游相关分子黏着斑激酶 (focal adhesion kinase, FAK) 及整合素 (integrin)

Tel: 0871-65941366, E-mail: sanjunzhao@163.com 收稿日期: 2023-06-03, 接受日期: 2023-08-24

^{*} 国家自然科学基金(82060355, 81660519)资助项目。

^{**} 诵讯联系人。

等蛋白质分子对细胞趋电性迁移的影响,为研究细胞趋电性迁移的机理研究提供参考。

1 材 料

1.1 细胞

人永生化角质细胞(HaCaT)购自中国科学院 昆明细胞库,编号KCB 200442YJ。

1.2 主要试剂

胎牛血清(ExCell Bio),DMEM 高糖培养基(上海培源),FNC coating MIX(Enzo,AES),Opti-MEM (Gibco), Lipofectamine™ 2000(Thermo),钌 红(ruthenium red,RuR)、GsMTx4、PF562271 均购自 MCE,BCA 蛋白质浓度测定试剂盒(GlpBio),FAK、磷酸化 FAK、Akt、磷酸化 Akt、Integrin β1 均为兔抗购自 CST公司,PIEZO1兔抗(Affinity),GAPDH兔抗(上海翌圣),β-tubulin兔抗(Boster),HRP 偶联的山羊抗兔 IgG(华安生物),siRNA 由安徽通用生物技术公司合成,integrin β1 的抗体抑制剂 P5D2 购自 Abcam公司。

1.3 主要器材

CO₂细胞培养箱,活细胞工作站(Zeiss),细胞培养皿(LabServ),蛋白质分离凝胶(上海翌圣),电泳仪(Bio-Rad),直流电源(百晶)。

2 方 法

2.1 细胞培养

HaCaT 细胞复苏后培养于 DMEM 完全培养基 (89% DMEM高糖培养基, 10% FBS, 1% 100×青霉素-链霉素),在37°C、5% CO_2 培养箱中培养,每2~3 d胰酶消化传代1次,待生长至对数期用于实验。

2.2 细胞趋电性迁移

趋电小室(Boyden Chamber)的制作参考 Zhao等 [9] 的方法,取直径为 100 mm 的细胞培养皿,使用高真空密封脂将盖玻片(长 22 mm、宽 10 mm、厚 0.13 mm)固定于培养皿底部中央,制作长为22 mm、宽为10 mm的长方形趋电小室。

取对数期HaCaT细胞进行消化、离心、重悬、稀释至 (1~5)×10⁷/L细胞密度并接种于FNC包被的趋电小室,待细胞贴壁2h。根据实验需要采用钉红、GsMTx4、P5D2、PF562271等孵育1h后,在小室两端施加稳定直流电场,强度为100 V/m,置于活细胞工作站中拍摄细胞运动轨迹,间隔5 min拍摄一次,持续2h。每个处理选取3~5个视

野,随机选取细胞合计300个左右,应用ImageJ软件,分析细胞的迁移路径,以细胞迁移的方向性(directedness $(\cos\theta)$)、轨迹速度 (track speed)、位移速度 (displacement speed)、方向持续性(euclidian persistence)四个指标为参数,计算细胞趋电性迁移的能力。

2.3 蛋白样品收集

取对数期 HaCaT 细胞调整密度,将约 3×10^7 个细胞均匀接种于 4 cm×3 cm的小室,放入 CO_2 培养箱 37° C孵育至完全贴壁($2\sim4$ h),设置 4 组实验处理。组 1:无电场,无药物处理;组 2:单独 100 V/m 电场处理;组 3:无电场,单独药物处理;组 4 : 100 V/m 电场加药物处理。处理结束用预冷的 PBS 快速冲洗 3 遍,置于冰上加入 200 μ l 配制好的裂解液,裂解 5 min,细胞刮板刮下转移至预冷离心管。涡旋振荡 2 s后, 4° C,13 000 r/min,11 min离心后取上清,置于冰上。

2.4 细胞转染

取对数期 HaCaT 细胞按照 $(2~8)\times10^5$ /孔接种于6孔细胞培养皿,置于 CO_2 培养箱培养24 h后进行转染,细胞融合度应为30%~50%。DEPC 水分装siRNA 干粉,Opti-MEM 稀释 siRNA 至50 nmol/L,250 μ l Opti-MEM 稀释5 μ l LipofectamineTM 2000。两者混匀静置20 min后加入6孔板,补加培养基,6 h后更换新鲜培养基培养。转染18~48 h后收集蛋白质样品进行蛋白质印迹(Western blot)验证是否转染成功。

2.5 Western blot

蛋白质样品用BCA蛋白质浓度测定试剂盒进行蛋白质定量,根据定量结果将蛋白质样品调整至相同浓度,取 4%~20%蛋白质分离凝胶,组装电泳架。每孔 20 μl蛋白质样品,恒压 80 V电泳 20 min,后续转恒压 100 V继续电泳。甲醇激活 PVDF 膜,组装"三明治"结构进行转膜,条件:电流250 mA,时间 120 min。取 PVDF 膜浸入预冷的TBST(TBS with Tween-20)缓冲液震荡 1 min 后,脱脂奶粉封闭 60 min。根据蛋白质大小将目的蛋白条带切出,TBST 漂洗去封闭液,置于一抗 4°C过夜孵育。取条带 TBST 漂洗 10 min,洗 3次,二抗室温孵育 1 h,取条带 TBST 漂洗 10 min,再洗 3次。将条带浸泡于新配制的发光液 1 min 后取出,用化学成像系统(Tanon 5500 Multi)进行拍摄。

2.6 数据分析与处理

每个实验独立重复3次,每次实验根据细胞数

量统计 $3\sim5$ 个视野,共 300 个细胞,应用 Excel 2016 统计所有细胞实验原始坐标数据,进行统计学分析,数据结果表示为平均值±标准误(Mean± SEM),应用独立性 t 检验进行显著性分析,较显著差异*P<0.05,显著差异**P<0.01,极显著差异**P<0.001,应用 GraphPad Prism 8绘图。

3 结 果

3.1 钌红显著抑制HaCaT细胞趋电性迁移

钉红是广谱阳离子通道抑制剂,抑制包括 PIEZO1在内的多种阳离子通道。从细胞迁移的轨 迹图可以看出,未施加电场时 HaCaT 细胞呈现随 机迁移,在100 V/m的直流电场作用下 HaCaT 细胞 向电场正极快速定向迁移,钌红显著抑制了电场对于细胞迁移的促进和定向作用(图 1a)。对细胞迁移各参数分析结果显示,未施加电场时,HaCaT 细胞呈向各方向随机迁移,迁移速度较慢,电场作用下,HaCaT 细胞趋电性迁移的方向性、轨迹速度、位移速度和方向持续性显著升高(图 1b~e)。钌红显著抑制了 HaCaT 细胞的趋电性迁移,其迁移主要参数均显著降低:迁移方向性由(0.907±0.007)显著降低至(0.422±0.018)(P<0.001);轨

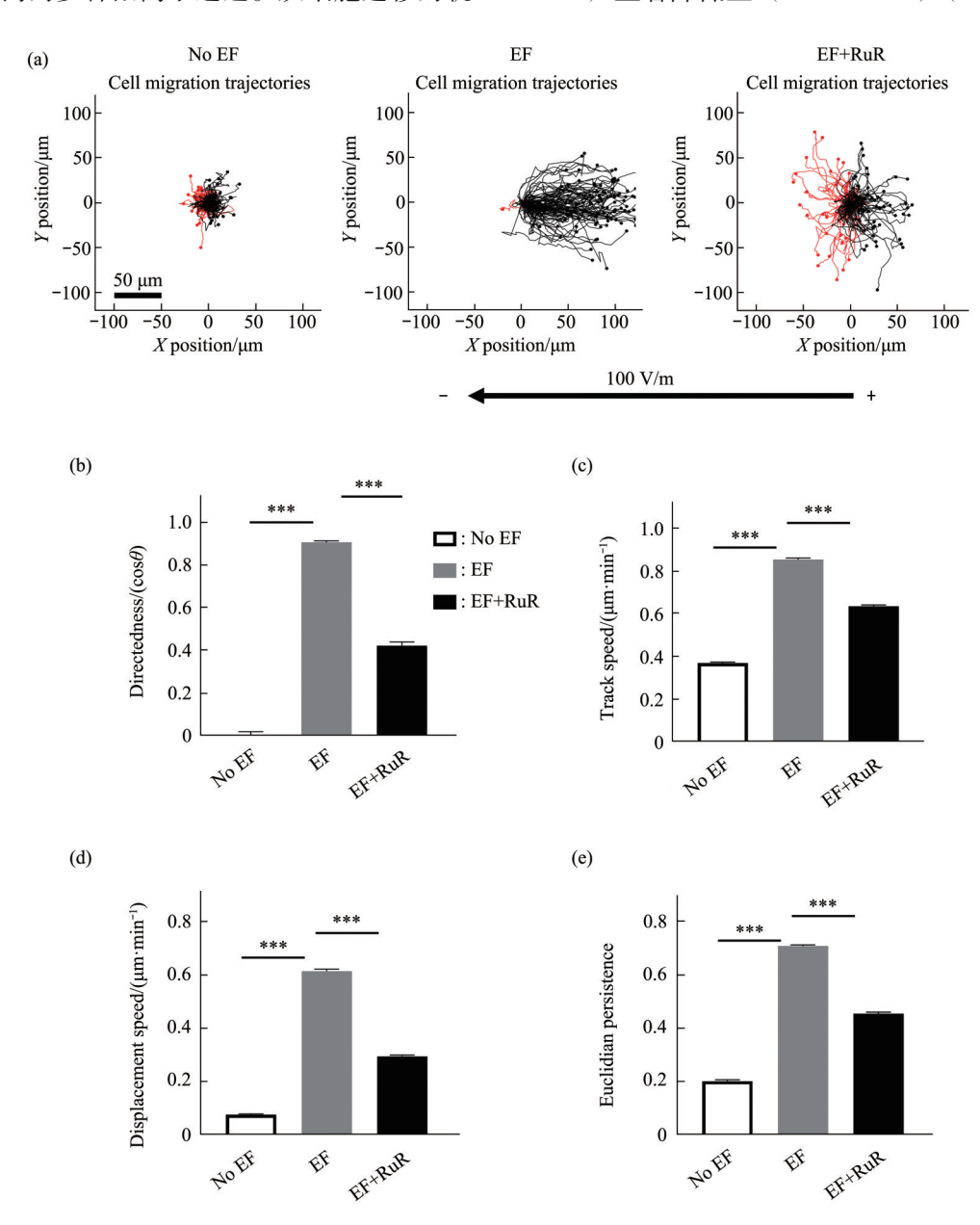


Fig. 1 Electrotaxis of HaCaT cells treated by ruthenium red

(a) Electrotaxis trajectories of HaCaT cells treated by ruthenium red; (b–e) the directedness, track speed, displacement speed, euclidian persistence of electrotaxis of HaCaT cells treated by ruthenium red (n=300, ***P<0.001).

迹速度由(0.855 ± 0.007) μ m/min 显著降低至 (0.636 ± 0.007) μ m/min (P<0.001); 位移速度由 (0.615 ± 0.007) μ m/min 显著降低至(0.296 ± 0.005) μ m/min (P<0.001); 方向持续性也由 (0.708 ± 0.005) 降低至(0.455 ± 0.006)(P<0.001)。上述结果表明,钌红显著抑制 HaCaT 细胞的趋电性迁移,暗示包括 PIEZO1 在内的阳离子通道可能在细胞的趋电性迁移过程发挥重要作用。

3.2 GsMTx4显著降低HaCaT细胞趋电性迁移的 轨迹速度和方向持续性

GsMTx4是一种蜘蛛毒液肽,是特异性靶向阳

离子机械敏感离子通道(mechanosensitive ion channels, MSC)的抑制剂,可以阻碍机械力刺激细胞引起的胞内电流^[10]。选用GsMTx4处理细胞,调控PIEZO1通道功能,追踪细胞趋电性迁移轨迹(图 2a)。结果显示:在未施加电场时,HaCaT细胞呈现出向各方向的随机迁移,迁移速度较慢,电场作用下,HaCaT细胞呈现向电场正极的定向迁移,迁移速度显著增加;用GsMTx4处理细胞抑制PIEZO1功能,HaCaT细胞向电场正极进行定向迁移的路径呈现更加分散(图 2b)。统计分析显示,与未用GsMTx4的对照相比,HaCaT细胞在电场作

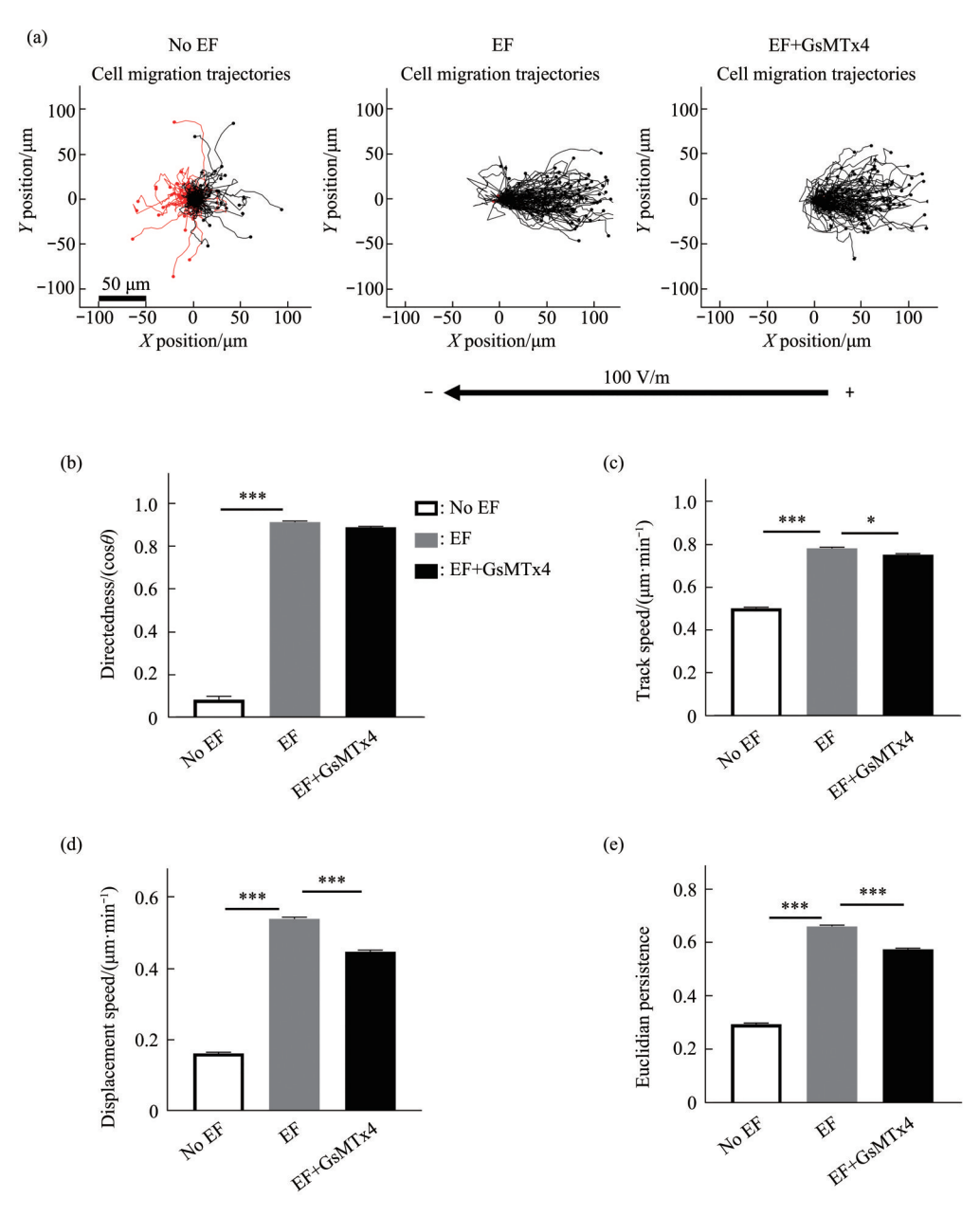


Fig. 2 Electrotaxis of HaCaT cells treated by GsMTx4

(a) Electrotaxis trajectories of HaCaT cells treated by GsMTx4; (b-e) the directedness, track speed, displacement speed, euclidian persistence of HaCaT cells treated by GsMTx4 (n=300, *P<0.05, ***P<0.001).

用下轨迹速度由(0.782±0.008) μ m/min 降低为 (0.741±0.007) μ m/min (n=300, P<0.05),位移速度由(0.529±0.007) μ m/min 降低至(0.458±0.006)(P<0.001),细胞在沿电场方向迁移的持续性也由(0.652±0.006)显著降低至(0.594±0.006)(P<0.001)(图 2c~e)。

采用 Western blot 检测蛋白质的表达量以及磷酸化水平 (图3),结果显示: 100 V/m 直流电场作用下,HaCaT 细胞的 Integrin β1 表达上调,Akt 和

FAK的磷酸化水平也显著上调;GsMTx4单独作用也同样使HaCaT细胞的Akt和FAK的磷酸化水平显著升高;但GsMTx4和电场同时作用下,未出现对Akt与FAK磷酸化水平以及integrinβ1表达的叠加促进作用。以上结果表明,GsMTx4作用于HaCaT细胞后,在一定程度上抑制了其趋电性迁移,PIEZO1可能在电场指导的细胞趋电性迁移过程中发挥作用。

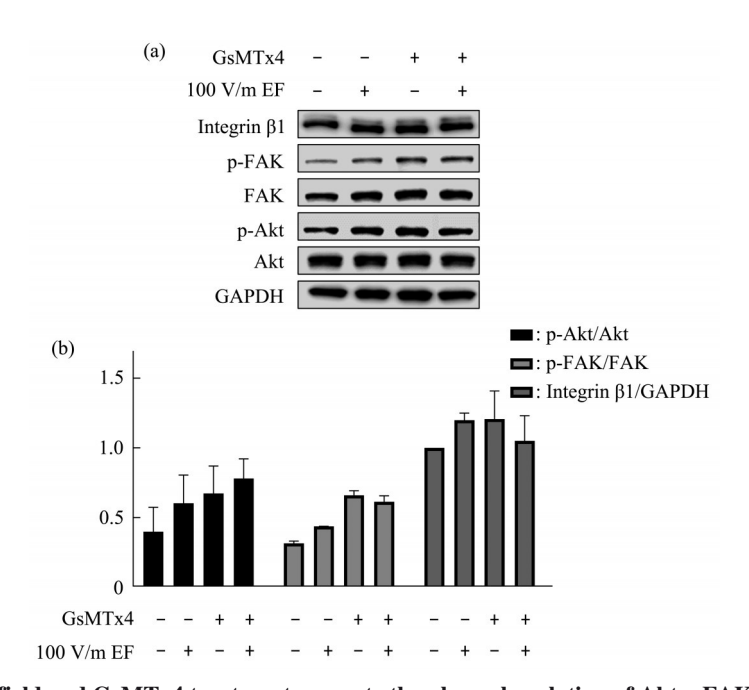


Fig. 3 Electric field and GsMTx4 treatment promote the phosophorylation of Akt, FAK and integrin $\beta 1$ (a) The expression and phosophorylation of Akt, FAK and integrin $\beta 1$ under EF treatment; (b) quantification of the expression and phosophorylation of Akt, FAK and integrin $\beta 1$ under EF treatment.

3.3 siRNA干扰PIEZO1表达显著降低HaCaT细胞 趋电性方向性和方向持续性

研究进一步采取 siRNA 干扰 Piezo1 mRNA 从而降低蛋白质的表达来验证 PIEZO1 对于细胞趋电性迁移中的作用。采用三对不同序列 siRNA 和与靶基因无同源性的序列作为阴性对照分别进行瞬时转染实验,PIEZO1 蛋白表达量如图 4 所示,编码 4669 的序列显著降低了 PIEZO1 蛋白的表达量。细胞转染后接种于迁移小室(图 4),siRNA 干扰后的细胞与阴性对照相比,贴壁细胞状态,呈现为均匀的片状伪足伸展。

细胞的趋电性迁移轨迹图 (图 5a), 在电场作

用下,阴性对照组 HaCaT 细胞趋向正极进行定向迁移;siRNA 干扰 PIEZO1后,HaCaT 细胞明显降低了向正极迁移的方向性,且呈现出迁移的轨迹更加分散,说明细胞迁移的方向性受到影响,迁移的能力有所下降。统计结果显示:siRNA 干扰后,细胞趋电方向性由(0.805 ± 0.008)显著降低至(0.514 ± 0.014)(P<0.001),方向持续性由(0.606 ± 0.005)降低到(0.579 ± 0.005),存在较显著差异(P<0.05);而 siRNA 干扰细胞后,细胞在电场中的迁移速度、位移速度都略微降低,但与对照组相比都无统计学上显著差异存在(图 $5b\sime$)。

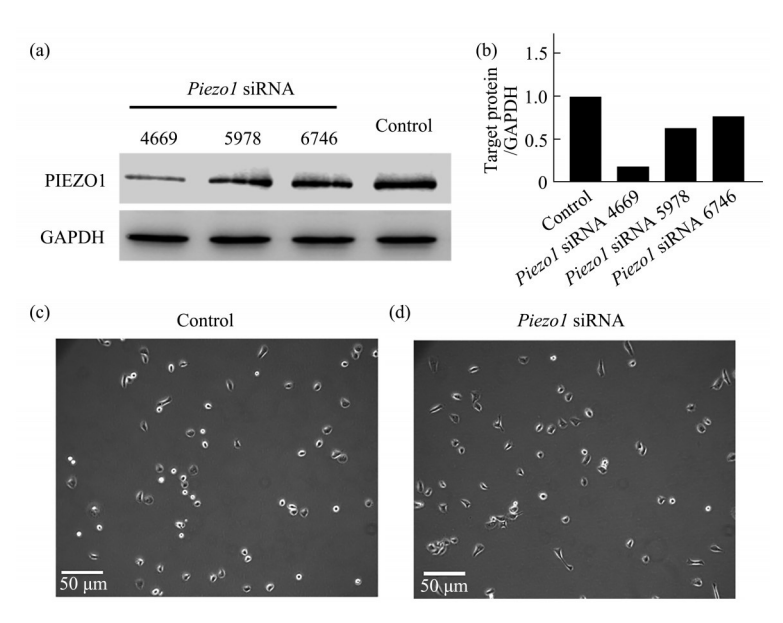


Fig. 4 Expression of PIEZO1 protein and morphological changes of cells after siRNA interference

(a) Western blot result of three pairs of siRNA primers on the expression of PIEZO1 protein; (b) quantification of the expression of PIEZO1 after RNAi; (c-d) Effect of control group and siRNA interference on the morphology of HaCaT cells.

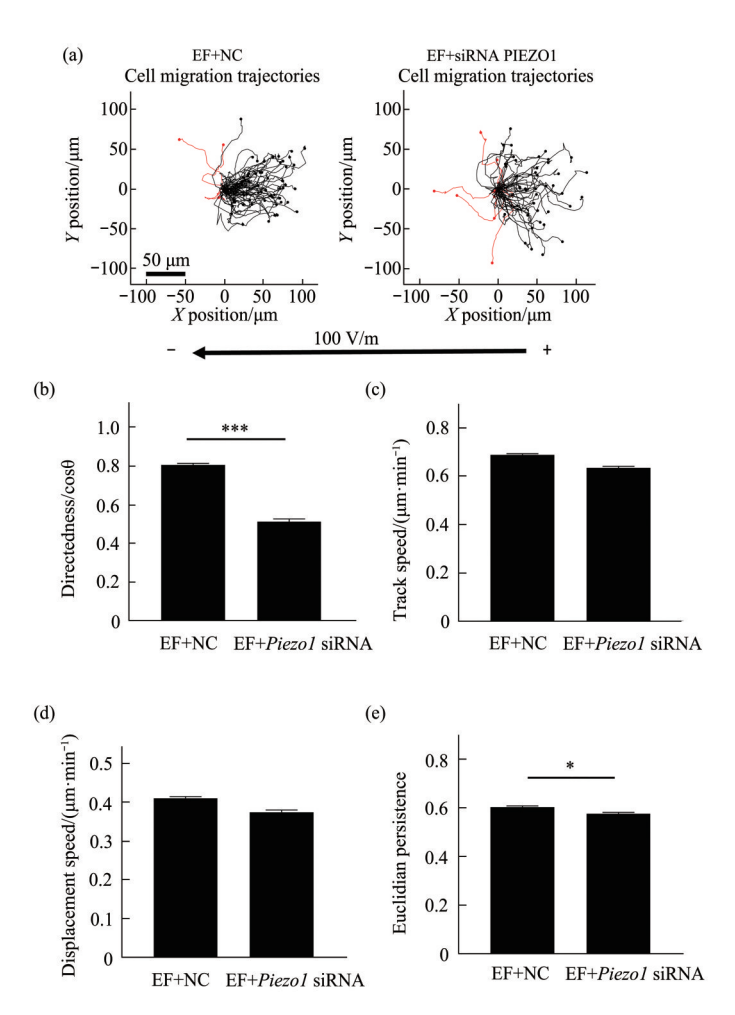


Fig. 5 Electrotaxis of HaCaT cells after siRNA interference with PIEZO1

(a) Electrotaxis trajectory of HaCaT cells after *Piezo1* siRNA knockdown; (b–e) The directedness, track speed, displacement speed, euclidian persistence of electrotaxis migration in HaCaT cells after *Piezo1* siRNA knockdown (n=300, *P<0.05, ***P<0.001).

Western blot结果显示,siRNA干扰PIEZO1表达后FAK总蛋白未发生显著性改变,但FAK的磷酸化水平显著降低,且在PIEZO1表达被干扰后,电场对FAK的磷酸化的促进作用显著被抑制,同时siRNA干扰PIEZO1表达后Akt总蛋白无显著变化,但使其磷酸化水平有小幅度下降,PIEZO1低表达也取消了电场对于Akt磷酸化的促进作用。与此同时电场作用下,总integrin β1蛋白表达量明显升高,而且siRNA干扰PIEZO1后,在电场作用下其表达量未明显升高(图6)。

PIEZO1下调后细胞趋电性迁移的方向性受到显著影响,暗示PIEZO1可能参与细胞定向迁移过程中对方向信号的调控。同时,Akt及FAK的磷酸化水平受到显著抑制,siRNA干扰PIEZO1表达显著影响电场对Akt及FAK的活化,以上结果暗示电场可能通过PIEZO1调节Akt及FAK磷酸化水平调控细胞去电性迁移的方向性。而siRNA干扰PIEZO1的作用对于电场对Integrin β1表达的上调作用也有所抑制。

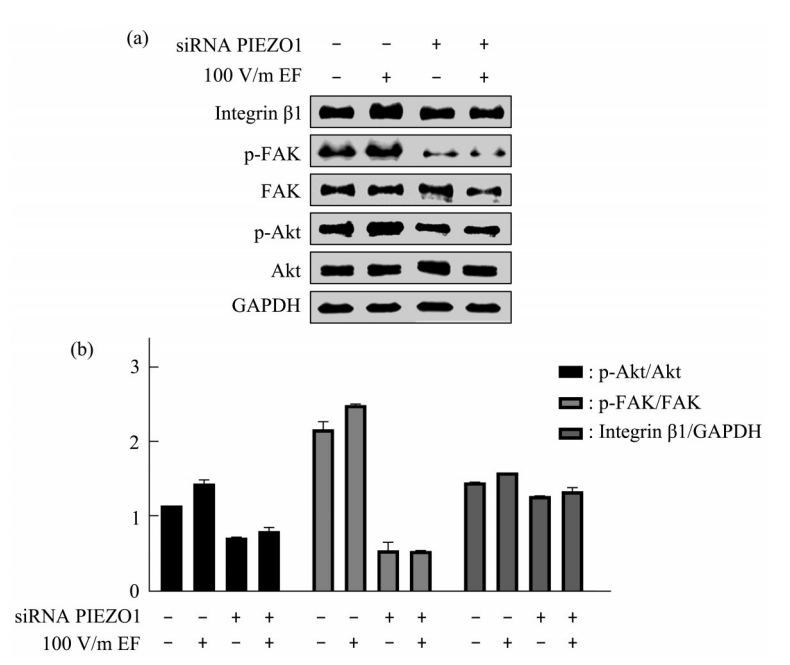


Fig. 6 The expression and phosphorylation of FAK, Akt and integrin $\beta 1$ under electric field after siRNA interfering PIEZO1 expression

(a) Western blot result of expression and phosophorylation of Akt ,FAK and integrin $\beta 1$ under EF treatment; (b) quantification of expression and phosophorylation of Akt , FAK and integrin $\beta 1$ under EF treatment.

3.4 抑制integrin β1或FAK影响HaCaT细胞趋电性迁移

在细胞的定向迁移过程中,整合素在运动方向上呈高度极化状态,细胞迁移过程中负责黏附的整合素经由内吞作用以及胞内转运进行循环周转受到FAK和相关底物的控制 [11]。整合素和PIEZO1 在细胞外基质相互作用,细胞感受机械刺激调节刚度增加需要整合素等相关通路信号的参与 [12]。P5D2 是一种特异性靶向 integrin β1 的抗体抑制剂,可用来阻断其功能 [13]。FAK抑制剂PF562271(Synonyms)是一种可逆的 ATP 竞争性的 FAK和Pyk2 抑制剂,可以抑制 FAK Y397的磷酸化

水平[14]。

轨迹图显示(图 7a),在 integrin β1 抑制剂 P5D2 作用下,HaCaT 细胞在电场下的运动轨迹及 范围显著缩小,细胞呈现出运动能力的下降,且沿电场方向上进行迁移的方向性降低,HaCaT 细胞 趋电性迁移的四个参数均显著下降(图 7b~e)。在 FAK 抑制剂 PF562271 的作用下,细胞向正极方向的迁移轨迹范围有显著缩小,说明其迁移能力有所下降,但定向移动的方向性仍较好。

统计结果显示: P5D2作用后 HaCaT 细胞在电场中迁移的方向性显著下降,与对照组相比,细胞趋电性迁移的方向性由(0.890±0.004)下降至

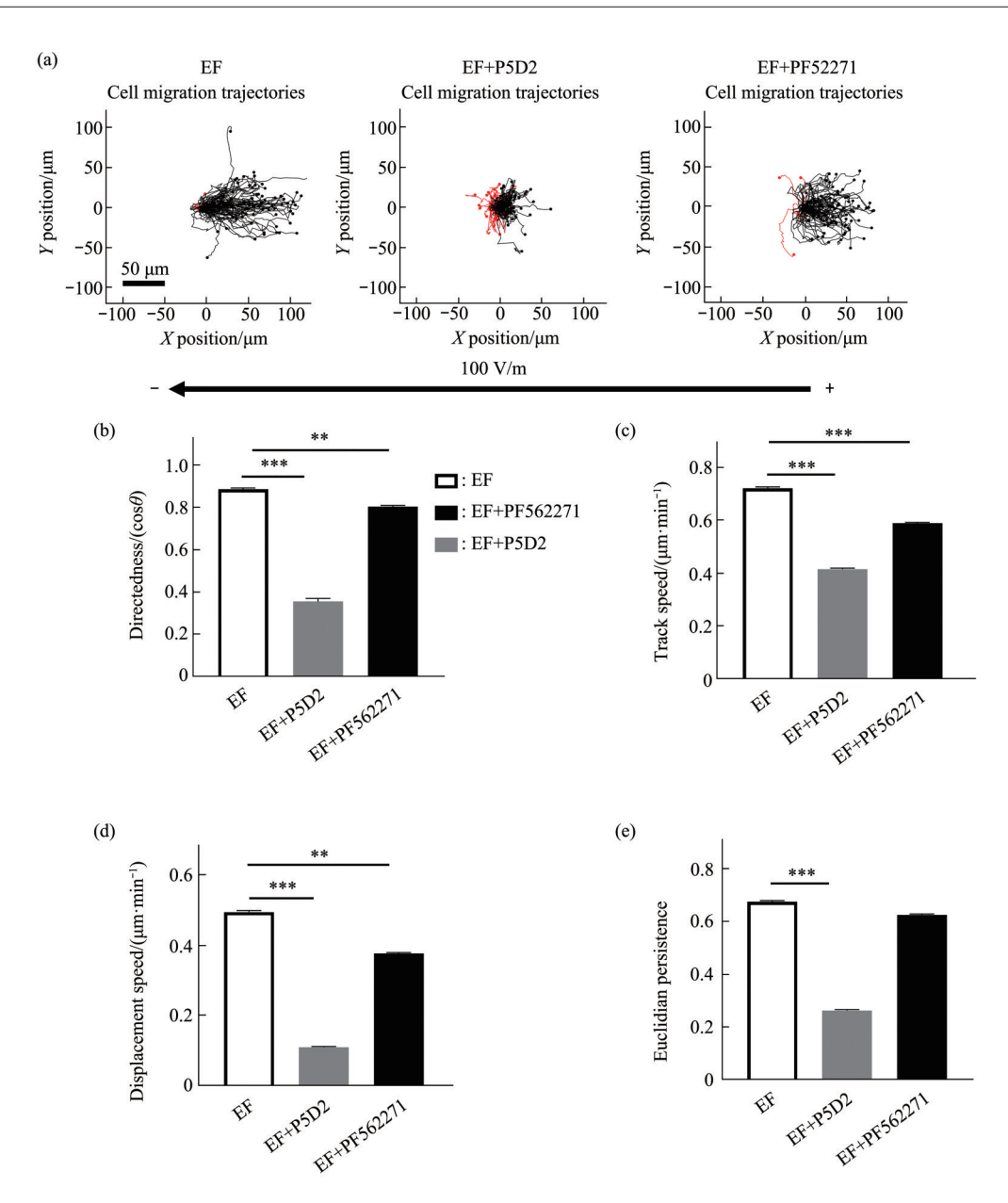


Fig. 7 The electrotaxis of HaCaT cells under the treatment of integrin $\beta 1$ antibody inhibitor P5D2 and FAK inhibitor PF562271

(a) The electrotaxis trajectory of HaCaT cells under the treatment of integrin β 1 antibody inhibitor P5D2 and FAK inhibitor PF562271; (b-e) the directedness, track speed, displacement speed, euclidian persistence of electrotaxis of HaCaT cells under the treatment of integrin β 1 antibody inhibitor P5D2 and FAK inhibitor PF562271 (n=300, **p<0.01, ***p<0.001).

 (0.357 ± 0.014) (P<0.001) 下降超过59%。细胞轨迹速度从 (0.722 ± 0.005) $\mu m/min$,显著下降到 (0.416 ± 0.004) $\mu m/min$ (P<0.001);位移速度也呈现相同的差异降低,从 (0.494 ± 0.004) $\mu m/min$ 下降为 (0.111 ± 0.002) $\mu m/min$ (P<0.001)。方向持续性从 (0.641 ± 0.003) 下降为 (0.264 ± 0.004) ,对照组EF与P5D2处理存在极显著差异 (P<0.001)。

使用抑制剂抑制 FAK 后,与对照组相比,方向性降至(0.805±0.005)(*P*<0.01),降幅为9.5%,趋

电性迁移轨迹速度降低至(0.589 ± 0.004) μ m/min,降幅超过18%,有显著差异(P<0.001),位移速度显著降低至(0.376 ± 0.003) μ m/min(P<0.01),细胞趋电性迁移的方向持续性与对照组并无显著性差异。

由上述实验结果可得,P5D2抑制 integrin β1后显著抑制了 HaCaT 细胞的趋电性迁移,其方向性和速度的抑制都较为明显。抑制 FAK 影响 HaCaT 细胞的趋电性迁移,但影响幅度较小。

Western blot 结果显示, P5D2 抑制 integrin β1后, FAK 的磷酸化水平有所上调, 电场作用下其磷酸化水平一步上升(图8), 猜测电场作用下FAK 的活化可能并不被 integrin β1 功能抑制所阻碍, 仅被电信号引起的生理变化所激活。在 P5D2

的作用下,磷酸化Akt的水平显著下降,而且电场在P5D2作用下并未改变磷酸化Akt的水平(图8),说明在电信号作用下可以通过 integrin β1 调控 Akt 的活化水平并参与细胞的趋电性迁移。

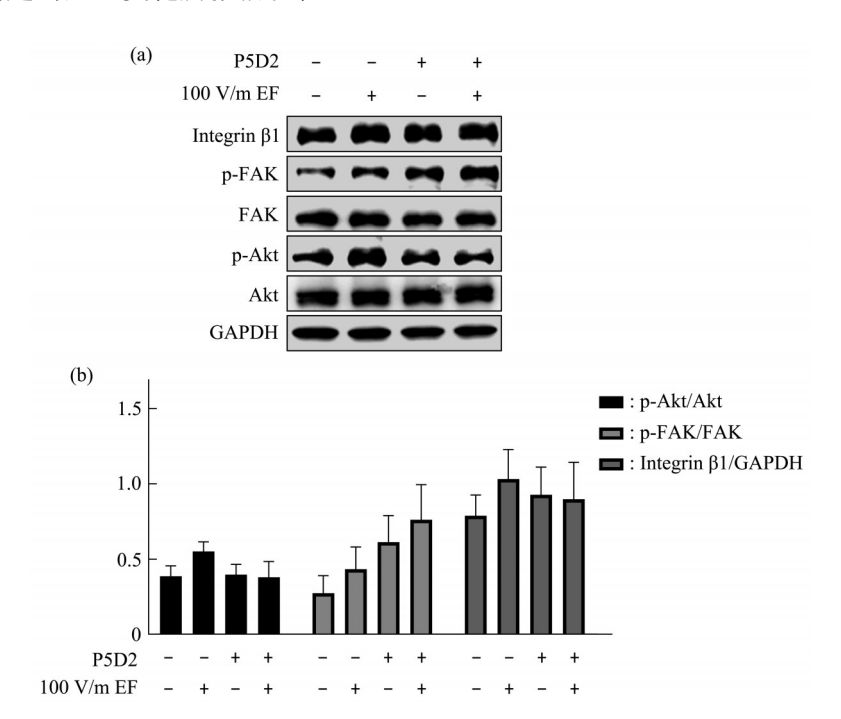


Fig. 8 Electrotaxis of HaCaT cells under treatment of integrin β1 inhibitor P5D2

(a) Western blot result of expression and phosophorylation of Akt ,FAK and integrin $\beta 1$ treated with P5D2 in EF; (b) quantification of expression and phosophorylation of Akt , FAK and integrin $\beta 1$ treated with P5D2 in EF.

4 讨 论

在皮肤损伤实验模型发现, 在损伤产生的其他 因子(如接触抑制释放、趋化因子释放等)同时存 在的情况下, 伤口处产生的内源性电场, 是主导细 胞向伤口中心定向迁移,从而促进伤口愈合的重要 信号[2]。但细胞迁移过程中响应电信号的关键分 子及信号通路尚不清晰。研究发现, PIEZO1可以 影响细胞的趋化性迁移[6],参与细胞运动[5,15-17], 在伤口愈合过程中发挥重要作用^[4],并且Piezol 可被电压门控调节[8]。本研究以HaCaT细胞为模 型研究 PIEZO1 在感知电信号与促进细胞定向迁移 中的作用,研究结果显示,抑制或降低PIEZO1表 达, HaCaT细胞在电场中的定向迁移方向性参数 以及速度参数受到不同程度的抑制。尤其是通过 RNAi技术敲低 PIEZO1 后,细胞趋电性迁移显著 下降,这与在盘基网柄菌中低表达Piezol 趋化性受 到抑制的实验结果一致,在方向信号cAMP的作用 下,Piezo1参与调控细胞定向迁移的方向性,而对迁移的速度影响甚微,细胞在电场信号作用下有同样的结果。以上提示PIEZO1对细胞迁移方向性的重要性^[6]。因此,PIEZO1可能参与细胞感知外界电场信号影响细胞的趋电性迁移从而促进伤口愈合的过程。

本研究中所采用了两种抑制剂分别抑制PIEZO1的活性,结果显示,广谱抑制剂钌红作用下细胞趋电性迁移的速度、方向性及方向持续性等参数均呈现极显著下降,而抑制剂GsMTx4作用下细胞趋电性迁移的速度及方向持续性有显著下降,造成以上结果的原因可能是由于广谱抑制剂钌红作用主要阻断部分Ca²+、Na*通道^[18],可以抑制包括PIEZO1介导Ca²+电流。而抑制剂GsMTx4是选择性地抑制PIEZO和TRP通道家族阳离子的机械敏感性通道,还可阻断阳离子选择性的拉伸激活通道(SAC)^[19]。已有研究证明,Ca²+在细胞迁移过程中具有重要作用^[20],广谱抑制剂钌红对细胞趋电性

迁移的显著抑制作用可能是通过阻断 PIEZO1 介导的 Ca²⁺流发挥作用。

本研究结果显示, 电场显著促进 HaCaT 细胞 integrin β1的表达和FAK磷酸化水平的上升,这与 电场诱导升高 integrin β1 的 mRNA 或蛋白质水平激 活FAK的磷酸化进而促进人视网膜色素上皮细胞 迁移[21] 和在人晶状体上皮细胞的上皮-间充质转 换[22]的研究报道相符合。电场作用还可以活化上 调PI3K/Akt途径启动细胞反应,如迁移、增殖和 分化[23]。本研究应用GsMTx4抑制剂及RNAi方式 敲低 PIEZO1 的表达均抑制电场对 HaCaT 细胞 integrin β1 表达的促进,这表明电场作用促进 integrin β1 表达上调的过程是通过 PIEZO1 介导, 同时敲低PIEZO1也抑制了FAK磷酸化,且FAK不 能被电场进一步激活,这显示电场对 FAK 的活化 作用受到 PIEZO1 水平的调节。但 PIEZO1 响应电 场的具体机制以及是否直接调节 integrin β1 和 FAK 影响细胞趋电性迁移仍待进一步实验研究。

应用抗体抑制剂 P5D2 阻断 integrin β1 的功能与抑制剂 PF562271来抑制 FAK 的功能,PIEZO1下游的 integrin β1 和 FAK 在不同程度上影响 HaCaT细胞的趋电性迁移。暗示细胞对趋电性迁移方向的调控可能是通过 PIEZO1 影响 FAK 的磷酸化和 integrin β1表达来传递电场信号。

5 结 论

PIEZO1参与HaCaT细胞的趋电性迁移,是影响 HaCaT细胞趋电性迁移的重要分子之一;抑制 integrin β1和FAK会影响 HaCaT细胞的趋电性迁移过程,integrin β1与FAK可能与PIEZO1介导细胞感应电场的信号通路有关,电场信号可能通过 PIEZO1介导参与integrin β1和FAK的调控过程。

参 考 文 献

- Reinke J M, Sorg H. Wound repair and regeneration. Eur Surg Res, 2012, 49(1): 35-43
- [2] Zhao M. Electrical fields in wound healing—an overriding signal that directs cell migration. Semin Cell Dev Biol, 2009, 20(6): 674-682
- [3] Zhao M, Song B, Pu J, et al. Electrical signals control wound healing through phosphatidylinositol-3-OH kinase-gamma and PTEN. Nature, 2006, 442(7101): 457-460
- [4] Holt J R, Zeng W Z, Evans E L, et al. Spatiotemporal dynamics of PIEZO1 localization controls keratinocyte migration during wound healing. Elife, 2021, 10: e65415
- [5] Hung W C, Yang J R, Yankaskas C L, et al. Confinement sensing and signal optimization via Piezo1/PKA and myosin II pathways.

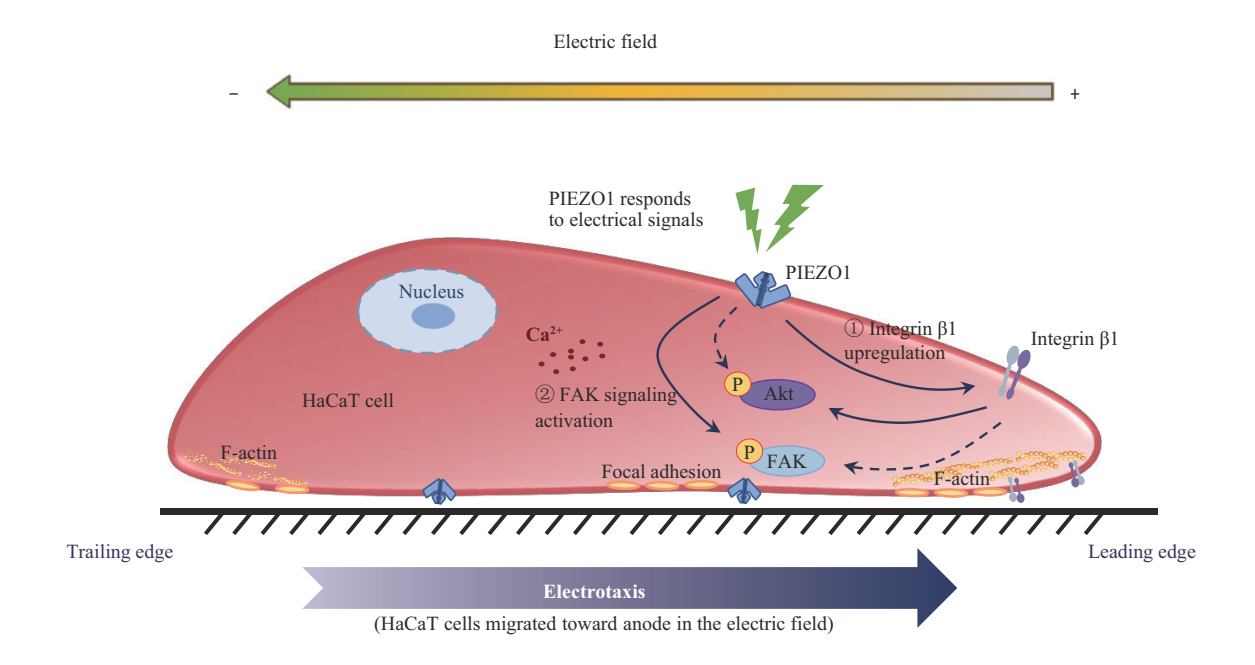
- Cell Rep, 2016, 15(7): 1430-1441
- [6] Srivastava N, Traynor D, Piel M, et al. Pressure sensing through Piezo channels controls whether cells migrate with blebs or pseudopods. Proc Natl Acad Sci USA, 2020, 117(5): 2506-2512
- [7] Li J, Hou B, Tumova S, et al. Piezo1 integration of vascular architecture with physiological force. Nature, 2014, 515(7526): 279-282
- [8] Moroni M, Servin-Vences MR, Fleischer R, et al. Voltage gating of mechanosensitive PIEZO channels. Nat Commun, 2018,9(1):1096
- [9] McCaig C D, Rajnicek A M, Song B, et al. Controlling cell behavior electrically: current views and future potential. Physiol Rev, 2005, 85(3): 943-978
- [10] Bae C, Sachs F, Gottlieb P A. The mechanosensitive ion channel Piezo1 is inhibited by the peptide GsMTx4. Biochemistry, 2011, 50(29):6295-6300
- [11] Schaller M D, Otey C A, Hildebrand J D, et al. Focal adhesion kinase and paxillin bind to peptides mimicking beta integrin cytoplasmic domains. J Cell Biol, 1995, 130(5): 1181-1187
- [12] Emig R, Knodt W, Krussig M J, et al. Piezo1 channels contribute to the regulation of human atrial fibroblast mechanical properties and matrix stiffness sensing. Cells, 2021, 10(3): 663
- [13] Blaschke F, Stawowy P, Goetze S, et al. Hypoxia activates beta (1)-integrin via ERK 1/2 and p38 MAP kinase in human vascular smooth muscle cells. Biochem Biophys Res Commun, 2002, 296(4): 890-896
- [14] Hu C, Chen X, Wen J, et al. Antitumor effect of focal adhesion kinase inhibitor PF562271 against human osteosarcoma in vitro and in vivo. Cancer Sci, 2017, 108(7): 1347-1356
- [15] Huang Z, Sun Z, Zhang X, *et al.* Loss of stretch-activated channels, PIEZOs, accelerates non-small cell lung cancer progression and cell migration. Biosci Rep, 2019, **39**(3): BSR20181679
- [16] Patkunarajah A, Stear J H, Moroni M, et al. TMEM87a/Elkin1, a component of a novel mechanoelectrical transduction pathway, modulates melanoma adhesion and migration. Elife, 2020, 9: e53308
- [17] Zhang J, Zhou Y, Huang T, *et al*. PIEZO1 functions as a potential oncogene by promoting cell proliferation and migration in gastric carcinogenesis. Mol Carcinog, 2018, **57**(9): 1144-1155
- [18] Malecot C O, Bito V, Argibay J A. Ruthenium red as an effective blocker of calcium and sodium currents in guinea-pig isolated ventricular heart cells. Br J Pharmacol, 1998, 124(3): 465-472
- [19] Suchyna T M. Piezo channels and GsMTx4: two milestones in our understanding of excitatory mechanosensitive channels and their role in pathology. Prog Biophys Mol Biol, 2017, 130(Pt B): 244-253
- [20] Wei C, Wang X, Chen M, et al. Calcium flickers steer cell migration. Nature, 2009, 457(7231): 901-905
- [21] Zhu B, Nicholls M, Gu Y, et al. Electric signals regulate the directional migration of oligodendrocyte progenitor cells (OPCs) via beta1 Integrin. Int J Mol Sci, 2016, 17(11): 1948
- [22] Liu J, Yan X L, Zheng X L, et al. Electric field exposure promotes epithelialmesenchymal transition in human lens epithelial cells via integrin beta1 FAK signaling. Mol Med Rep, 2017, 16(4): 4008-4014
- [23] Meng X, Arocena M, Penninger J, et al. PI3K mediated electrotaxis of embryonic and adult neural progenitor cells in the presence of growth factors. Exp Neurol, 2011, 227(1): 210-217

PIEZO1 Channel is Involved in Electric Field Guided Cell Migration*

ZHANG Gui-Cheng, GONG Peng, WANG Yi-Fan, ZHAO San-Jun**

(School of Life Sciences, Yunnan Normal University, Kunming 650500, China)

Graphical abstract



Abstract Objective Disruption of epithelial layer may instantaneously induce the generation of endogenous electric fields, which was proved to play an important role in guiding the cell migration and promoting wound healing. PIEZO1 is a kind of mechanic sensitive channel, may be regulated by voltage, is proved to involve in chemotactic migration of cells and play an important role in the process of wound healing. In this paper, the role of PIEZO1 and its downstream proteins FAK and integrin β 1 in the electric field guided cell migration were investigated by HaCaT cells (human immortalized keratinocyte). **Methods** Cell migration was tracked by Living Cell Imaging System in directed current (DC) electric field (EF). Inhibitors and RNAi techniques were applied to study the function of PIEZO1 and other related proteins in electric fields. Western blot was used to detect the expression and phosphorylation levels of integrin β 1 and FAK in electric field guided migration under EF stimulation. **Results** *Piezo1* RNAi as well as Ruthenium red and GsMTx4 treatment all significantly inhibited the electrotaxis of HaCaT cells. Electric field stimulation with GsMTx4 treatment alone increased FAK

^{*} This work was supported by grants from The National Natural Science Foundation of China (82060355, 81660519).

^{**} Corresponding author.

Tel: 86-871-65941366, E-mail: sanjunzhao@163.com

phosphorylation level and the expression of integrin $\beta1$. Electric field promoted the expression level of integrin $\beta1$ and the phosphorylation level of FAK. Inhibiting the expression of PIEZO1 by RNAi significantly attenuated the phosphorylation level of FAK under EF stimulation. Inhibition of integrin $\beta1$ and FAK by inhibitor significantly decrease the electric field guided cell migration. **Conclusion** PIEZO1 as well as integrin $\beta1$ and FAK are involved in the electric field guided cell migration of HaCaT cells. Electric field signals regulate the expression of integrin $\beta1$ and the activation of FAK through PIEZO1-mediated signal pathway to orchestrate cell migration.

Key words electric fields, electrotaxis, cell migration, HaCaT, PIEZO1, integrin β1, FAK **DOI**: 10.16476/j.pibb.2023.0218